



طراحی کنترل کننده مود لغزشی تطبیقی برای یک ربات خودکار پرنده با دینامیک متغیر با زمان

علی کیماسی خلجی^{۱,*} و سعید بهرامی^۲

استادیار، گروه مهندسی مکانیک، دانشکده فنی و مهندسی، دانشگاه خوارزمی، تهران، ایران

استادیار، گروه مهندسی مکانیک، دانشکده مکاترونیک، دانشگاه آزاد اسلامی، واحد کرج، البرز، ایران

مقاله مستقل، تاریخ دریافت: ۱۳۹۵/۰۵/۲۰؛ تاریخ بازنگری: ۱۳۹۵/۰۹/۱۱؛ تاریخ پذیرش: ۱۳۹۶/۰۹/۰۸

چکیده

امروزه کاربرد ربات‌های پرنده در سیستم‌های مهندسی در حال گسترش است. پارامترهای این دسته از سیستم‌ها متغیر بوده و دینامیکی متغیر با زمان را رقم می‌زنند. یک کنترل کننده نامتغیر با زمان به دلیل شرایط واقعی و تغییرات پارامترهای سیستم پاسخ مناسبی به دست نمی‌دهد. از سوی دیگر دینامیک سیستم تحت تأثیر عدم قطعیت‌ها و اختشاشات ناشی از شرایط محیطی می‌باشد. بنابراین در این مقاله به مدل‌سازی و کنترل مدل مبنای مقاوم تطبیقی یک ربات خودکار پرنده می‌پردازیم. کنترل یک ربات پرنده به علت حساسیت بالا و دینامیک ذاتی ناپایدار و در حضور نامعینی‌ها، باید توسط الگوریتم‌های کنترلی ای انجام پذیرد که دارای قابلیت جبرانسازی سیستم در حضور نامعینی‌ها باشد. برای این منظور الگوریتم کنترل مود لغزشی به همراه شناسایی پارامترها به عنوان یک روش کنترلی مناسب که شرایط مذکور را دارا می‌باشد برای کنترل سیستم دارای پارامترهای متغیر با زمان طراحی و روی سیستم اعمال گردیده است. ابتدا معادلات دینامیکی سیستم استخراج شده است. سپس الگوریتم کنترل مود لغزشی به همراه شناسایی پارامترها برای سیستم طراحی و اعمال گردیده است. در ادامه پایداری روش کنترلی پیشنهاد شده توسط تئوری لیپاونوف تحلیل گردیده است. نتایج بدست آمده نشان دهنده کارایی کنترل کننده‌ی پیشنهاد شده می‌باشد.

کلمات کلیدی: ربات خودکار؛ کنترل مود لغزشی؛ سطح لغزش؛ کنترل تطبیقی؛ شناسایی پارامترها

Robust Adaptive Controller Design for an Autonomous Robot with Time-Varying Dynamics

A. Keymasi Khalaji^{*1}, S. Bahrami²

¹Assistant Professor, Department of Mechanical Engineering, Faculty of Engineering, Kharazmi University, Tehran, Iran.

²Assistant Professor, Department of Mechanical Engineering, Islamic Azad University, Karaj Branch (KIAU), Iran.

Abstract

Applications of autonomous robots in engineering systems are growing today. Control of an autonomous robot is one of the main problems in this field. Parameters of this type of systems are variable and lead to a time-varying dynamics. A time-invariant controller due to the actual conditions and varying parameters of the system will not result in appropriate responses. On the other hand, real system dynamics is subjected to unpredictable uncertainties and disturbances due to environmental conditions. Therefore, utilized control algorithms should be robust against these effects. In this paper modeling and model-based robust adaptive control of an autonomous robot have been considered. Control of an autonomous system due to the large sensitivity and system specific conditions should be accomplished using particular control algorithms. These conditions have been analyzed for this system. Sliding mode control with system parameters identification as an appropriate control algorithm which contains such conditions has been designed and employed for the control of the system with time-varying parameters. Therefore, first system dynamic model has been obtained. Next, robust adaptive control algorithm has been designed and applied to the system. Obtained results show the effectiveness of the proposed method

Keywords: Autonomous Robot; Sliding Mode Control; Sliding Surface; Adaptive Control; Parameter Identification.

* نویسنده مسئول؛ تلفن: ۰۲۶۳۴۵۶۹۵۵۵؛ فکس: ۰۲۶۳۴۵۷۹۶۰۰

آدرس پست الکترونیک: keymasi@khu.ac.ir

۱- مقدمه

لازم و بدیهی در همه روش‌های کنترلی است. معمولاً مدل ریاضی سیستم دینامیکی که حاوی همه اطلاعات لازم از سیستم است مبنای شروع طراحی سیستم کنترلی است. بدیهی است هر چه مدل ریاضی سیستم دینامیکی، به واقعیت آن سیستم نزدیک‌تر باشد، کنترلی که بر مبنای مدل ریاضی طراحی می‌شود، عملکرد مطلوب‌تری را به نمایش می‌گذارد.

در سیستم‌های مهندسی، نویزهای ناشی از سیستم اندازه‌گیری، موتور، جعبه دندۀ، برخی پدیده‌های موجود در سیستم‌های واقعی از جمله عدم قطعیت‌ها، اغتشاشات خارجی و عوامل ناشناخته و غیر قابل پیش‌بینی دیگر، نتایج سیستم را تحت تأثیر قرار می‌دهند. از سوی دیگر در عمل امکان مدل‌سازی دقیق و کامل سیستم، تقریباً غیر ممکن است. به عبارت دیگر، هر مدلی که از سیستم واقعی بسازیم تا اندازه‌ای دقیق است و هیچ مدلی نیست که دقیقاً بیان کننده یک سیستم واقعی باشد. بنابراین هر مدل ریاضی تا اندازه‌ای غیر دقیق است. [۱۰].

کنترل کننده مورد استفاده باید عملکرد مناسب سیستم در برابر اغتشاشات و عدم قطعیت‌ها و تغییر پارامترهای سیستم و همچنین پایداری سیستم حلقه بسته را تضمین نماید. بدین منظور در مراجع [۱۳-۱۴] از روش‌های فازی برای کنترل سیستم‌های پرنده استفاده شده است. یکی از روش‌هایی که برای کنترل سیستم‌های دارای عدم قطعیت به کار می‌رود کنترل مود لغزشی است. کنترل مود لغزشی از جمله کنترل کننده‌های ساختار متغیر^۱ با مود لغزان می‌باشد. معمولاً در سیستم‌های کنترلی، طراحی کنترل کننده بر این مبنای انجام می‌شود که سیستم اصلی (که باید کنترل شود) هم از نظر پارامترها و هم از نظر ساختار در طی فرایند کنترلی تغییر نکند. اگر سیستمی که طراحی کنترل کننده بر مبنای آن انجام می‌شود عملأ در طی فرایند چه از نظر ساختاری و چه از نظر پارامترها تغییر نماید، بدیهی است باید ساختار کنترل یا پارامترهای کنترل کننده نیز تغییر نمایند. بنابراین این دسته از کنترل کننده‌ها را به طور کلی سیستم‌های کنترلی ساختار متغیر می‌نامند. [۱۱].

کنترل مود لغزشی دارای ویژگی‌هایی همچون مقاومت در برابر عدم قطعیت‌های ساختاری و پارامتری و اغتشاشات

امروزه کاربرد ربات‌های متحرک در سیستم‌های مهندسی در حال گسترش است، [۱-۳]. صنعت، فیلم‌برداری، کاربردهای پلیسی، کشاورزی و جنگل‌داری، معدن‌کاری، تجسس و نجات، استفاده در مکان‌های خطوط‌ناک یا دور از دسترس (ارتش، دهانه آتش‌نشان) و همچنین سرگرمی نمونه‌هایی از این کاربردها می‌باشد. بنابراین، مدل‌سازی و کنترل این سیستم‌ها مورد توجه بسیاری از محققین قرار گرفته است. [۴-۶]. از جمله ربات‌های متحرک ربات‌های پرنده می‌باشد. در [۷] مقدمه‌ای از سیستم‌های پرنده و کاربردها و تاریخچه پژوهشی آنها ارائه شده است. طراحی کنترل کننده برای یک ربات پرنده همواره از مسایل مطرح در این زمینه می‌باشد، [۸]. پارامترهای یک ربات پرنده متغیر بوده و دینامیکی متغیر با زمان را رقم می‌زنند. [۹]. یک کنترل کننده نامغایر با زمان به دلیل شرایط پرواز واقعی و تغییرات پارامترهای سیستم پاسخ مناسبی بدست نمی‌دهد. هرچند روش‌های کنترل مقاوم، روی چنین سیستمی قابل اعمال می‌باشند اما به دلیل محافظه‌کارانه بودن این روش‌ها پاسخ سیستم از سرعت عمل مناسبی برخوردار نخواهد بود. [۱۰-۱۲]

طراحی کنترل کننده‌ای برای سیستم‌های غیرخطی که بتواند تمام فضای تحت پوشش سیستم را پاسخگو باشد، یکی از موضوعات مورد توجه محققین است.

دینامیک ربات پرنده تحت تأثیر اغتشاشات غیر قابل پیش‌بینی ناشی از شرایط محیطی می‌باشد. کنترل سیستم‌های پرنده معمولاً با فرضیات ساده کننده‌ای در مدل‌سازی دینامیک سیستم صورت می‌پذیرد که به مدل‌های دارای ساختار خطی شامل پارامترهای متغیر با زمان منتهی می‌گردد. [۱۱]. به همین علت، کنترل یک ربات پرنده به علت حساسیت بالا و دینامیک ذاتی ناپایدار و در حضور نامعینی‌ها، باید توسط الگوریتم‌های کنترلی ای انجام پذیرد که دارای قابلیت جبرانسازی سیستم در حضور نامعینی‌ها باشد.

یکی از خواص مهم سیستم‌های کنترلی، مقاوم بودن آن‌هاست. به طور معمول برای کنترل یک سیستم دینامیکی، باید اطلاعات کافی از آن سیستم داشته باشیم. در حالی که روش‌های مختلف کنترلی، ساختارهای مختلف کنترل کننده و ورودی‌های کنترلی را تعیین می‌کنند، اما صرف‌نظر از کنترلی که اعمال می‌شود، داشتن اطلاعات کافی از سیستم، امری

^۱ Variable Structure Control Systems (VSCS)

کنترلی نشان دهنده کارایی کنترل کننده‌ی پیشنهاد شده می‌باشد.

۲- مدلسازی ربات پرنده

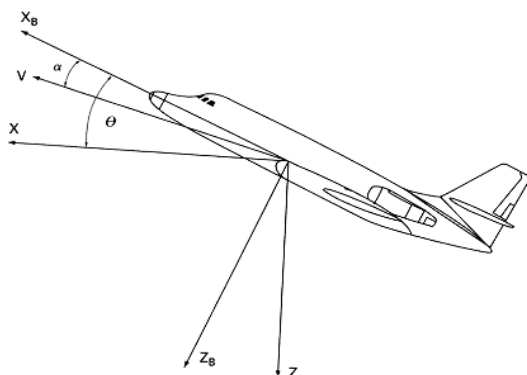
به منظور استخراج معادلات دینامیک طولی سیستم از روش نیوتن-اویلر استفاده می‌گردد. بر اساس قوانین نیوتون نیروها و گشتاورهای خارجی اعمال شده بر سیستم با شتاب‌های خطی و زاویه‌ای آن ارتباط پیدا می‌کنند. این معادلات در مراجع موجود در این زمینه به صورت مکرر استخراج و استفاده شده است. [۹]. این معادلات را می‌توان به صورت سیستمی با

پارامترهای متغیر با زمان به به صورت زیر نوشت:

$$\dot{x} = \begin{bmatrix} a_{11} & a_{12} & a_{13} \\ a_{21} & a_{22} & 0 \\ 0 & 1 & 0 \end{bmatrix} x + \begin{bmatrix} b_1 \\ b_2 \\ 0 \end{bmatrix} u$$

$$y = [0 \ 0 \ 1]x \quad (1)$$

که در آن $x = [x_1 \ x_2 \ x_3]^T$ بردار متغیرهای حالت سیستم می‌باشد. که در آن $x_1 = \alpha$ زاویه حمله (زاویه میان راستای مماس بر مسیر و محور ربات پرنده)، $x_2 = d\theta/dt$ سرعت زاویه‌ای پیچ/یاو و $x_3 = \theta$ زاویه پیچ/یاو ربات پرنده می‌باشد. ضرایب معادلات فوق توابعی از ضرایب آبرودینامیکی و پارامترهای مدل دینامیکی سیستم می‌باشند. نیز ورودی سیستم است که نقش آن به عنوان بالابر تغییر زاویه پیچ سیستم است. تصویری از سیستم دینامیکی به همراه متغیرهای سیستم در شکل ۱ نمایش داده شده است.

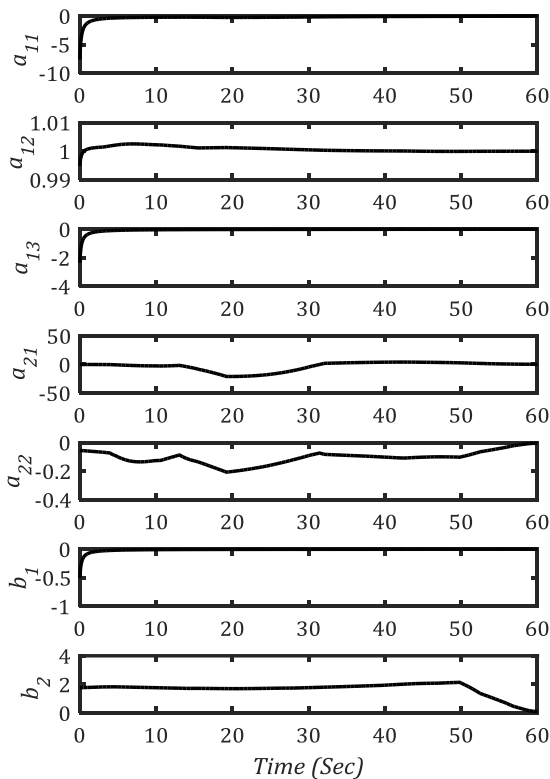


شکل ۱- نمایش دستگاه متصل به جسم و دستگاه اینرسی و متغیرهای معرف حرکت سیستم

مدل فوق یک سیستم دینامیکی دارای ساختار خطی اما با پارامترهای متغیر با زمان را نمایش می‌دهد. که تغییرات پارامترهای سیستم برای یک مانور در شکل ۲ آمده است.

محیطی، عدم نیاز به مدل دقیق ریاضی و پاسخ گذرا متناسب می‌باشد که آن را از روش‌های کنترل دیگر متمایز می‌نماید، [۳]. در [۱۵] یک قانون کنترلی به روش مود لغزشی برای یک ربات متحرک پیشنهاد گردیده که پایداری آن از طریق روش لیاپانوف بررسی شده است. از معایب کنترل مود لغزشی، پدیده نوسانات فرکانس بالا حول سطح لغزش و محافظه کار بودن این الگوریتم است. این محافظه کار بودن الگوریتم از آنجا ناشی می‌شود که روش‌های کنترل مقاوم عمدتاً با دانش قبلی از کران بالای عدم قطعیت‌های سیستم در بدترین شرایط عمل می‌کنند، [۱۱]. در صورتیکه بتوان این کران‌ها را به صورت به هنگام شناسایی نمود می‌توان عملکرد بهتری داشت، [۱۶]. محافظه کار بودن الگوریتم، باعث کاهش سرعت آن و عدم استفاده از تمامی ظرفیت مدلگرها در زمان‌های مختلف کاری سیستم است. هر چند تعیین کران‌های بالای عدم قطعیت‌ها، به خاطر پیچیدگی و غیر قابل پیش‌بینی بودن ساختار عدم قطعیت‌ها در دینامیک سیستم‌های رباتیکی ساده نیست. برای برطرف کردن این مشکل از کنترل تطبیقی برای تخمین پارامترهای کران‌های بالای عدم قطعیت‌ها استفاده شده است، [۱۷]. بنابراین، با مسئله عدم قطعیت‌های پارامتری از نوع کران بالای عدم قطعیت‌های سیستم روبرو هستیم که روش کنترل تطبیقی مورد استفاده قرار می‌گیرد، [۱۸]. بدین منظور یک روش دو روشن می‌توان از نقاط قوت هر دو به صورت یک روش مقاوم تطبیقی بهره برد. در مراجع [۱۶ و ۱۹] چنین روش‌هایی برای ربات متحرک مورد استفاده قرار گرفته‌اند. در مرجع [۲۱] یک کنترلر بر مبنای مود لغزشی-تطبیقی برای ربات متحرک ارائه گردیده و تحلیل پایداری کنترلر از روش لیاپانوف انجام شده است.

در این مقاله کنترل مود لغزشی به همراه شناسایی پارامترها به عنوان یک روش کنترلی مناسب که شرایط مذکور را دارا می‌باشد برای کنترل سیستم دارای پارامترهای متغیر با زمان طراحی و روی سیستم اعمال گردیده است. بنابراین ابتدا معادلات دینامیکی سیستم استخراج شده است. سپس الگوریتم کنترل مود لغزشی به همراه شناسایی پارامترها برای سیستم طراحی و اعمال گردیده است. در ادامه پایداری روش کنترلی پیشنهاد شده توسط تئوری لیاپانوف تحلیل گردیده است. نتایج بدست آمده از پیاده‌سازی روش



شکل ۲- تغییرات پارامترهای مدل دینامیکی سیستم

هم چنین از رابطه (۵) می‌توان نوشت:

$$\frac{1}{\beta} \leq \frac{b}{\hat{b}} \leq \beta \quad (9)$$

حالا می‌خواهیم قانون کنترلی را در این حالت با معلوم بودن حدود b تعیین کنیم.

تابع f نیز به طور دقیق شناخته شده نیست و مقدار متوسط آن با \hat{f} تخمین زده شده است. تخمین \hat{f} به صورت زیر بدست می‌آید.

$$\hat{f}(x) = \hat{a}_{21}x_1 + \hat{a}_{22}x_2 \quad (10)$$

که در آن \hat{a}_{21} و \hat{a}_{22} خود مقادیر تخمینی این پارامترها می‌باشند. این مقادیر را می‌توان به صورت تقریبی از این پارامترها تا اندازه‌ای که از آنها شناخت داریم اعمال نماییم. فرض می‌شود خطای تخمین روی f یعنی تفاوت بین f و \hat{f} در محدوده تابع شناخته شده‌ای مانند $F = F(x, \dot{x})$ قرار داشته باشد. بنابراین

$$|f - \hat{f}| < F \quad (11)$$

از روابط فوق خواهیم داشت:

$$f - \hat{f} = (a_{21} - \hat{a}_{21})x_1 + (a_{22} - \hat{a}_{22})x_2 \quad (12)$$

در این مرحله هدف کنترل x_3 می‌باشد. اما در معادله سوم معادلات حالت، ورودی کنترلی u ظاهر نشده است. بنابراین از معادله سوم در رابطه (۱) مشتق می‌گیریم و با استفاده از معادله دوم در رابطه (۱) خواهیم داشت:

$$\ddot{x}_3 = a_{21}x_1 + a_{22}x_2 + b_2u \quad (2)$$

معادله فوق معرف یک سیستم رسته دو می‌باشد و می‌توان آن را به صورت زیر بازنویسی کرد:

$$\ddot{x}_3 = f(x) + b u \quad (3)$$

که در آن

$$f(x) = a_{21}x_1 + a_{22}x_2$$

$$b = b_2$$

می‌خواهیم ورودی کنترلی u را برای سیستم فوق طراحی کنیم تا x_3 ورودی مرجع خود را تعییب نماید و کنترل کننده ویژگی‌های مورد نظر ما را بآورده سازد.

۳- طراحی کنترل کننده برای کانال‌های پیج و یاو ربات پرنده

در این قسمت به طراحی قانون کنترلی مود لغزشی به عنوان یکی از الگوریتم‌های مقاوم در برابر عدم قطعیت‌ها می‌پردازیم.

سیستم دینامیک رسته دو با معادله (۳) را در نظر می‌گیریم. بهره کنترلی b با زمان تغییر می‌کند. فرض می‌کنیم بهره کنترلی b نامعلوم است ولی مرز تغییرات آن مشخص است (کراندار است) این مرزها خود می‌توانند با زمان تغییر کنند یا به متغیرهای حالت سیستم بستگی داشته باشند.

$$0 < b_{\min} \leq b \leq b_{\max} \quad (5)$$

چون ورودی کنترلی به صورت ضرب در معادلات دینامیکی سیستم وارد می‌شود، لذا تخمین \hat{b} از بهره b را به صورت میانگین هندسی محدوده‌های مذکور در نظر می‌گیریم.

$$\hat{b} = (b_{\min} b_{\max})^{0.5} \quad (6)$$

در این صورت معادله (۵) را می‌توان چنین نوشت:

$$\beta^{-1} \leq \frac{\hat{b}}{b} \leq \beta \quad (7)$$

که در آن

$$\beta = \left(\frac{b_{\max}}{b_{\min}}\right)^{0.5} \quad (8)$$

از معادله فوق به سادگی می‌توان نوشت $1 < \beta < \infty$.

برآورده سازد تابعی از x و \dot{x} است و در ادامه محاسبه خواهد شد.

از معادله (۱۷) و (۳) داریم:

$$\dot{S} = f + bu - \ddot{x}_{3d} + 2\lambda \dot{\tilde{x}}_3 + \lambda^2 \tilde{x}_3 \quad (21)$$

با جایگذاری u در این معادله داریم:

$$\dot{S} = f + b[\hat{b}^{-1}(\hat{u} - k \operatorname{sgn}(S)) - \ddot{x}_{3d} + 2\lambda \dot{\tilde{x}}_3 + \lambda^2 \tilde{x}_3] \quad (22)$$

به جای \hat{u} از معادله (۱۸) مقدار می‌گذاریم:

$$\dot{S} = b\hat{b}^{-1}[(\ddot{x}_{3d} - \hat{f} - 2\lambda \dot{\tilde{x}}_3 - \lambda^2 \tilde{x}_3) - k \operatorname{sgn}(S)] + f - \ddot{x}_{3d} + 2\lambda \dot{\tilde{x}}_3 + \lambda^2 \tilde{x}_3 \quad (23)$$

بنابراین

$$\dot{S} = (1 - b\hat{b}^{-1})(-\ddot{x}_{3d} + 2\lambda \dot{\tilde{x}}_3 + \lambda^2 \tilde{x}_3) + (f - b\hat{b}^{-1}\hat{f}) - b\hat{b}^{-1}k \operatorname{sgn}(S) \quad (24)$$

طرفین معادله را در S ضرب می‌کنیم:

$$S\dot{S} = (1 - b\hat{b}^{-1})(-\ddot{x}_{3d} + 2\lambda \dot{\tilde{x}}_3 + \lambda^2 \tilde{x}_3)S + (f - b\hat{b}^{-1}\hat{f})S - b\hat{b}^{-1}k \operatorname{sgn}(S)S \quad (25)$$

بنابراین

$$S\dot{S} = (1 - b\hat{b}^{-1})(-\ddot{x}_{3d} + 2\lambda \dot{\tilde{x}}_3 + \lambda^2 \tilde{x}_3)S + (f - b\hat{b}^{-1}\hat{f})S - b\hat{b}^{-1}k|S| \quad (26)$$

بر اساس شرط لغش در این معادله باید داشته باشیم $S\dot{S} \leq -\eta|S|$

$$(1 - b\hat{b}^{-1})(-\ddot{x}_{3d} + 2\lambda \dot{\tilde{x}}_3 + \lambda^2 \tilde{x}_3)S + (f - b\hat{b}^{-1}\hat{f})S - b\hat{b}^{-1}k|S| \leq -\eta|S| \quad (27)$$

بنابراین

$$b\hat{b}^{-1}k|S| \geq (f - b\hat{b}^{-1}\hat{f})S + \eta|S| + (1 - b\hat{b}^{-1})(-\ddot{x}_{3d} + 2\lambda \dot{\tilde{x}}_3 + \lambda^2 \tilde{x}_3)S \quad (28)$$

طرفین را در $\hat{b}b^{-1}$ ضرب می‌کنیم بنابراین:

$$k|S| \geq (\hat{b}b^{-1} - 1)(-\ddot{x}_{3d} + 2\lambda \dot{\tilde{x}}_3 + \lambda^2 \tilde{x}_3)S + \hat{b}b^{-1}\eta|S| + (\hat{b}b^{-1}\hat{f} - f)S \quad (29)$$

با کمی سادهسازی خواهیم داشت:

$$k|S| \geq (\hat{b}b^{-1} - 1)(\hat{f} - \ddot{x}_{3d} + 2\lambda \dot{\tilde{x}}_3 + \lambda^2 \tilde{x}_3)S + \hat{b}b^{-1}(f - \hat{f})S + \hat{b}b^{-1}\eta|S| \quad (30)$$

بنابراین

$$k \geq (\hat{b}b^{-1} - 1)(\hat{f} - \ddot{x}_{3d} + 2\lambda \dot{\tilde{x}}_3 + \lambda^2 \tilde{x}_3) + \hat{b}b^{-1}\eta + \hat{b}b^{-1}(f - \hat{f}) \quad (31)$$

و می‌توان نوشت:

$$k \geq |\hat{b}b^{-1} - 1||\hat{f} - \ddot{x}_{3d} + 2\lambda \dot{\tilde{x}}_3 + \lambda^2 \tilde{x}_3| + \hat{b}b^{-1}\eta + \hat{b}b^{-1}|(f - \hat{f})| \quad (32)$$

ولی چون $|f - \hat{f}| \leq F$ بنابراین رابطه‌ی بالا را چنین می‌نویسیم:

$$k \geq |\hat{b}b^{-1} - 1||\hat{f} - \ddot{x}_{3d} + 2\lambda \dot{\tilde{x}}_3 + \lambda^2 \tilde{x}_3| + \hat{b}b^{-1}F + \hat{b}b^{-1}\eta \quad (33)$$

بنابراین

$$|f - \hat{f}| \leq |a_{21} - \hat{a}_{21}| |x_1| + |a_{22} - \hat{a}_{22}| |x_2| \quad (13)$$

بنابراین

$$F = |a_{21} - \hat{a}_{21}| |x_1| + |a_{22} - \hat{a}_{22}| |x_2| \quad (14)$$

با توجه به تغییرات پارامترهای سیستم، برای مقادیر تخمین پارامترها در رابطه فوق مقدار میانگین تغییرات پارامترها لحاظ شده و اختلاف بیشترین مقدار در بازه تغییرات پارامترهای سیستم با مقدار میانگین آنها منتهی می‌شود به $|a_{22} - \hat{a}_{22}| = 0.11$ و $|a_{21} - \hat{a}_{21}| = 13$ بنابراین:

$$F = 13|x_1| + 0.11|x_2| \quad (15)$$

برای آنکه سیستم محصور باشد $(t) x_{3d}$ تعقیب کند، سطح لغش $S = 0$ به صورت زیر انتخاب می‌شود. برای رسیدن به پاسخ‌های مناسب‌تر از کنترل انتگرالی روی سطح لغش استفاده می‌کنیم که برای معادلات رسته‌ی ۲ به صورت زیر خواهد بود.

$$S(x, t) = \left(\frac{d}{dt} + \lambda \right)^2 \int_0^t \tilde{x}_3 dt = \dot{\tilde{x}}_3 + 2\lambda \tilde{x}_3 + \lambda^2 \int_0^t \tilde{x}_3 dt = 0 \quad (16)$$

با مشتق‌گیری از رابطه‌ی فوق خواهیم داشت:

$$\dot{S}(x, t) = \ddot{\tilde{x}}_3 - \ddot{x}_{3d} + 2\lambda \dot{\tilde{x}}_3 + \lambda^2 \tilde{x}_3 \quad (17)$$

وروودی تقریبی \hat{u} بهترین تقریب از ورودی یعنی u است که به ازاء آن $\dot{S} = 0$ می‌شود. که در آن تخمین پارامترها جایگزین آنها می‌شود. بنابراین خواهیم داشت:

$$\hat{u} = \ddot{x}_{3d} - \hat{f} - 2\lambda \dot{\tilde{x}}_3 - \lambda^2 \tilde{x}_3 \quad (18)$$

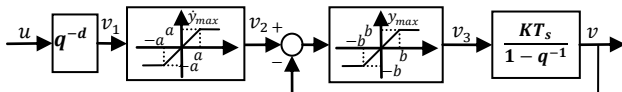
برای آنکه شرط لغش علیرغم عدم قطعیت در دینامیک f تحقق یابد، به \hat{u} محاسبه شده یک ترم غیر پیوسته اضافه می‌شود، [۱۱].

$$u = \hat{b}^{-1}(\hat{u} - k \operatorname{sgn}(s)) \quad (19)$$

که در رابطه‌ی فوق sgn معروف تابع علامت است و به صورت زیر تعریف می‌گردد.

$$\operatorname{sgn}(S) = \begin{cases} +1 & \text{if } S > 0 \\ 0 & \text{if } S = 0 \\ -1 & \text{if } S < 0 \end{cases} \quad (20)$$

با انتخاب چنین ورودی کنترلی ای پایداری سیستم قابل اثبات خواهد بود به عبارت دیگر این ورودی به گونه‌ای انتخاب شده است که پایداری قانون کنترلی تضمین گردد. با انتخاب k به صورت یک ترم بزرگ می‌توان تضمین کرد که شرط لغش تحقق یابد. اما k مناسب که شرط لغش را نیز



شکل ۳- مدل عملگر که T_s معرف زمان نمونه برداری، d تأخیر عملگر، K بهره موجود در مدل عملگر می‌باشد.

صورت بهنگام، زمانی که مدل نسبت به پارامترها خطی باشد، استفاده از روش بازگشتی حداقل مربعات خط^۱ می‌باشد. روش دیگر استفاده از فیلتر کالمن در شناسایی است.

از آنجا که پارامترهای مورد استفاده در قانون کنترلی طراحی شده برای سیستم a_{21} , a_{22} و b_2 می‌باشند. به منظور مقاومسازی کنترل کننده در برابر تغییرات پارامترها باید آنها را شناسایی نماییم. بدین منظور $\dot{x}_2 = y(t)$ در نظر گرفته می‌شود. و برای شناسایی سیستم به روش بازگشتی حداقل مربعات خط باید سیستم را به صورت مدل رگرسیونی نوشت.

یعنی:

$$y(t) = \phi^T(t)\theta \quad (37)$$

که بردار پارامترهای سیستم بوده و در هر لحظه از مینیمم سازی اندیس عملکرد زیر بدست می‌آید:

$$V(\theta, t) = \frac{1}{2} \sum_{i=1}^t (y(t) - \phi^T(i)\theta)^2 \quad (38)$$

در روابط فوق داریم:

$$\theta = \begin{pmatrix} a_{21} \\ a_{22} \\ b_2 \end{pmatrix} \quad (39)$$

که در این رابطه ϕ به صورت زیر می‌باشد:

$$\phi^T = [x_1 \ x_2 \ u] \quad (40)$$

روش دیگری که برای شناسایی سیستم‌های دارای پارامترهای متغیر با زمان استفاده می‌شود استفاده از فیلتر کالمن در شناسایی است. الگوریتم روش فیلتر کالمن نیز با روابط زیر بیان می‌گردد:

$$\begin{aligned} \Sigma(i+1) &= \Sigma(i) + \\ Q &- \frac{\Sigma(i)\phi(i+1)\phi^T(i+1)\Sigma(i)}{1 + \phi^T(i+1)\Sigma(i)\phi(i+1)} \\ \hat{\theta}(i+1) &= \hat{\theta}(i) + \\ (Q - \Sigma(i))\phi(i+1) &\left(\phi^T(i+1)\hat{\theta}(i) - y(i) \right) \quad (41) \end{aligned}$$

عمل دیگری که برای شناسایی بهتر پارامترهای چنین سیستم‌هایی انجام می‌شود جانشانی متنابض ماتریس کواریانس است. هنگام شناسایی پارامترهای سیستم وقتی

یعنی k را به عنوان بهره کنترلی بزرگتر می‌گیریم که کنترل ما در بدترین شرایط نیز پاسخگو باشد. و با توجه به معادله

$$(9) \text{ داریم } \beta \leq \hat{b}b^{-1} \text{ پس رابطه فوق را چنین می‌نویسیم:} \\ k \geq |\beta - 1| |\hat{f} - \tilde{x}_{3d} + 2\lambda \dot{\tilde{x}}_3 + \lambda^2 \tilde{x}_3| + \beta F + \beta \eta \quad (34)$$

به طور مشابه k را به عنوان بهره کنترلی بزرگتر گرفته‌ایم که کنترل ما در بدترین شرایط نیز پاسخگو باشد. همچنین می‌توان نوشت:

$$k \geq |\beta - 1| |\hat{f} - \tilde{x}_{3d} + 2\lambda \dot{\tilde{x}}_3 + \lambda^2 \tilde{x}_3| + \beta(F + \eta) \quad (35)$$

با استفاده از معادله (۱۸) خواهیم داشت:

$$k \geq \beta(F + \eta) + |\beta - 1| |\hat{u}| \quad (36) \\ \text{بنابراین مقدار } k \text{ در قانون کنترلی را می‌توان بر اساس رابطه فوق در هر لحظه تعیین نمود.}$$

۳-۱- مدل عملگر

از آنجایی که کلیه عملگرها دارای محدودیت در اعمال ورودی یا به عبارت دیگر دارای حد اشباع می‌باشند و همچنین دارای یک تأخیر در عملکرد می‌باشند برای نزدیک شدن نتایج طراحی کنترل کننده باید مدل دینامیکی عملگر نیز در فرایند طراحی وارد شود. بنابراین کنترل کننده باید به گونه‌ای طراحی شود که با اعمال حد اشباع عملگر و تأخیر ناپایدار نگردد. در شکل ۳ مدل عملگر اعمال شده روی سیستم معرفی شده در مرجع [۲۲]، نمایش داده شده است.

۴- شناسایی پارامترها

شناسایی پارامترهای یک سیستم به صورت برخط یکی از مراحل اصلی در کنترل تطبیقی به شمار می‌رود. در اکثر سیستم‌های عملی نیازمند روش‌های بازگشتی برای شناسایی سیستم در زمان هستیم، چرا که در این صورت حجم محاسبات و ذخیره سازی اطلاعات کاهش می‌یابد. در این روش‌ها به جای استفاده یکباره از داده‌ها به منظور شناسایی سیستم، اطلاعات به طور تک تک برای شناسایی سیستم مورد استفاده قرار می‌گیرند، بدین شکل که در هر مرحله با ورود یک نمونه جدید تخمین پارامترهای سیستم به صورت یکتابع از تخمین قبلی و نمونه جدید بدست می‌آید. روش‌های مختلفی برای شناسایی پارامترهای یک سیستم می‌توان به کار برد. یکی از روش‌های متدال جهت شناسایی این پارامترها به

^۱ Recursive Least Square (RLS)

$$u = \hat{b}^{-1}(\hat{u} - k \operatorname{sgn}(s)) = \hat{b}^{-1}(-\hat{f} + \hat{x}_{3d} - 2\lambda \hat{x}_3 - \lambda^2 \hat{x}_3 + \hat{\sigma}(t) \operatorname{sgn}(s)) \quad (48)$$

خطای تخمین را به صورت زیر در نظر می‌گیریم:

$$\tilde{\sigma}(t) = \hat{\sigma}(t) - \bar{\sigma} \quad (49)$$

در هر لحظه الگوریتم تطبیقی تخمین کران عدم قطعیت سیستم $(\hat{\theta})$ را به هنگام می‌نماید تا $S(t)$ پایدار گردد.

قضیه: با اعمال کنترل دینامیک (۴۸) به همراه قانون تطبیقی (۴۷) سیستم دینامیکی (۴۵) به صورت مجانی به سطح لغزش $S(t) = 0$ همگرا می‌شود.

اثبات: برای تحلیل پایداری سیستم از روش تحلیل پایداری لیپانوف استفاده می‌گردد. در زمینه رباتیک روش‌های مشابهی در بررسی پایداری سیستم‌های مختلف مورد استفاده قرار گرفته است، [۲۰، ۲۱]. تابع کاندیدای لیپانوف زیر را در نظر می‌گیریم:

$$V(S(t), \tilde{\sigma}(t)) = \frac{1}{2} \left(S^2(t) + \frac{1}{\alpha} \tilde{\sigma}^2(t) \right) \quad (50)$$

با مشتق‌گیری از تابع لیپانوف خواهیم داشت:

$$\dot{V}(S(t), \tilde{\sigma}(t)) = S(t) \dot{S}(t) + \frac{1}{\alpha} \tilde{\sigma}(t) \dot{\tilde{\sigma}}(t) \quad (51)$$

با استفاده از معادلات (۲۱) و (۴۳) و جایگذاری در رابطه‌ی فوق خواهیم داشت:

$$\dot{V}(S(t), \tilde{\sigma}(t)) = S(t) [\hat{f} + \hat{b} u - \hat{x}_{3d} + 2\lambda \hat{x}_3 + \lambda^2 \hat{x}_3 - \hat{\sigma}(t) \operatorname{sgn}(S) + \phi(t)] + \frac{1}{\alpha} \tilde{\sigma}(t) \dot{\tilde{\sigma}}(t) \quad (52)$$

با جایگذاری از معادله (۴۸) داریم:

$$\dot{V}(S(t), \tilde{\sigma}(t)) = -\hat{x}_{3d} + 2\lambda \hat{x}_3 + \lambda^2 \hat{x}_3 - \hat{\sigma}(t) \operatorname{sgn}(S) + \phi(t) + S(t) [\hat{f} + \hat{b} \hat{b}^{-1}(-\hat{f} + \hat{x}_{3d} - 2\lambda \hat{x}_3 - \lambda^2 \hat{x}_3)] + \frac{1}{\alpha} \tilde{\sigma}(t) \dot{\tilde{\sigma}}(t) \quad (53)$$

بنابراین

$$\dot{V}(S(t), \tilde{\sigma}(t)) = -\hat{\sigma}|S(t)| + S(t) \phi(t) + \frac{1}{\alpha} \tilde{\sigma}(t) \dot{\tilde{\sigma}}(t) \quad (54)$$

با مشتق‌گیری از خطای تخمین خواهیم داشت:

$$\dot{\tilde{\sigma}}(t) = \hat{\dot{\sigma}}(t) \quad (55)$$

با جایگذاری در معادله (۵۴) (خواهیم داشت:

$$\dot{V}(S(t), \tilde{\sigma}(t)) = -\hat{\sigma}(t)|S(t)| + S(t) \phi(t) + \frac{1}{\alpha} \tilde{\sigma}(t) \dot{\tilde{\sigma}}(t) \quad (56)$$

با استفاده از معادله (۴۹) (خواهیم داشت:

$$\dot{V}(S(t), \tilde{\sigma}(t)) = -(\hat{\sigma}(t) + \bar{\sigma})|S(t)| + S(t) \phi(t) + \frac{1}{\alpha} \tilde{\sigma}(t) \dot{\tilde{\sigma}}(t) = \tilde{\sigma}(t) \left(\frac{1}{\alpha} \dot{\tilde{\sigma}}(t) - |S(t)| \right) - \bar{\sigma}|S(t)| + S(t) \phi(t) \quad (57)$$

با اعمال قانون تطبیقی (۴۷) خواهیم داشت:

پارامترها با گذشت زمان به مقادیری می‌کنند عناصر ماتریس کواریانس کوچک و کوچکتر می‌شوند. به همین علت ممکن است پارامترها به مقادیر درستی همگرا نشوند. برای حل این مشکل می‌توان از روش جانشانی متنابوب ماتریس کواریانس استفاده کرد به عبارت دیگر در فاصله‌های زمانی مشخص عناصر ماتریس کواریانس را با مقادیر بزرگی جانشانی می‌کنیم. جانشانی ماتریس کواریانس را به صورت دیگر نیز می‌توان انجام داد بدین صورت که هر زمانی که مقدار تریس ماتریس کواریانس از مقدار مشخص شده‌ای کمتر شد ماتریس کواریانس با مقدار اولیه خود جانشانی می‌گردد.

در شناسایی پارامترهای سیستم از آنجایی که پارامترها متغیر با زمان می‌باشند از روش فیلتر کالمن استفاده گردیده است. همچنین برای بهبود عملکرد کنترل کننده از جانشانی ماتریس کواریانس استفاده شده است.

۵- کنترل مود لغزشی بهبود یافته‌ی تطبیقی

در حضور عدم قطعیت‌ها و اغتشاشات خارجی در سیستم خواهیم داشت:

$$\ddot{x}_3 = (\hat{f} + \Delta f) + (\hat{b} + \Delta b) u + d(t) \quad (42)$$

بنابراین

$$\ddot{x}_3 = \hat{f} + \hat{b} u + \Delta f + \Delta b u + d(t) \quad (43)$$

که در آن \hat{f} و \hat{b} تخمینی از f و b می‌باشند. با در نظر گرفتن عدم قطعیت‌های موجود در f و b می‌باشد. با عنوان عدم قطعیت انباسته سیستم خواهیم داشت:

$$\phi(t) = \Delta f + \Delta b u + d(t) \quad (44)$$

بنابراین

$$\ddot{x}_3 = \hat{f} + \hat{b} u + \phi(t) \quad (45)$$

فرض می‌کنیم که تابع (t) ϕ ناشناخته بوده ولی به صورت زیر کرندار باشد.

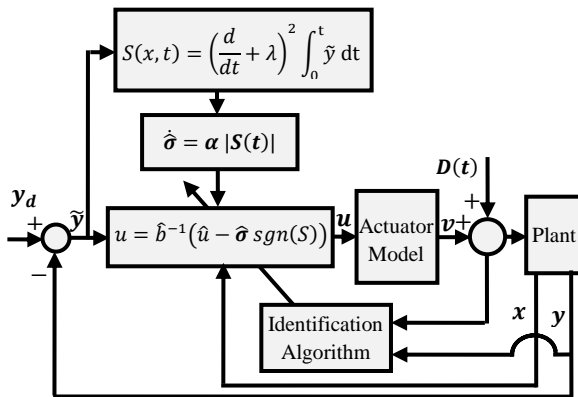
$$|\phi(t)| < \bar{\sigma} \quad (46)$$

که در آن $\bar{\sigma}$ یک ثابت مثبت ناشناخته است. همچنین قانون تطبیقی زیر را برای تخمین کران عدم قطعیت (t) ϕ در نظر می‌گیریم:

$$\dot{\phi} = \alpha |S| \quad (47)$$

که $\hat{\sigma}$ تخمین کران عدم قطعیت $\bar{\sigma}$ می‌باشد و به عنوان بهره سوییچینگ کنترل مود لغزشی استفاده می‌شود. بهره α بهره مثبت الگوریتم تطبیقی می‌باشد.

حال کنترل مود لغزشی را با الگوریتم تطبیقی فوق به صورت زیر در نظر می‌گیریم:



شکل ۴- دیاگرام بلوکی سیستم حلقه بسته با اعمال کنترل کننده مقاوم تطبیقی

بهره موجود در مدل عملگر می‌باشد. a و b پارامترهای استفاده شده برای تعیین حدود اشباع عملگر می‌باشند. اشباع عملگرها یکی از محدودیت‌های موجود در طراحی قوانین کنترلی برای سیستم‌های مختلف می‌باشند. در نظر گرفتن این محدودیت‌ها در طراحی کنترل کننده، شبیه‌سازی‌ها را به حالت واقعی نزدیک می‌نمایید و قدرت کنترل کننده طراحی شده را نمایش می‌دهد. اگر کنترل کننده طراحی شده مقاوم نباشد با اعمال این محدودیت‌ها ممکن است به سمت ناپایداری پیش برود. مقادیر استفاده شده نمونه‌ای از مقادیر واقعی در اینگونه از سیستم‌ها می‌باشند.

پارامتر λ معمولاً دقت تعییب ورودی را افزایش می‌دهد و سرعت پاسخ سیستم را افزایش می‌دهد اما در مقابل ورودی کنترلی را افزایش می‌دهد بنابراین λ مقداری مناسب باید انتخاب شود. پارامتر η با عکس زمان رسیدن پاسخ از شرایط اولیه به سطح لغزش مناسب است بنابراین افزایش این پارامتر معمولاً سرعت تعییب را افزایش می‌دهد. پارامتر ϕ ضخامت لایه‌ی مرزی را نمایش می‌دهد و برای رسیدن به پاسخ مناسب باید به صورت دستی تنظیم گردد.

برای مشاهده قدرت کنترل کننده‌های طراحی شده برای این دسته از سیستم‌ها معمولاً ورودی مرجع به صورت مجموعی از سیگنال‌های پله‌ای در نظر گرفته می‌شود. شکل ۵، زاویه پیچ/یاوه، مشتق زاویه پیچ/یاوه، زاویه حمله و سیگنال کنترلی با اعمال کنترل مقاوم تطبیقی را نمایش می‌دهد. در شکل ۶، شناسایی پارامترهای سیستم به صورت به هنگام با اعمال کنترل مقاوم تطبیقی ارائه شده است. در

$$\dot{V}(S(t), \tilde{\sigma}(t)) \leq -\bar{\sigma}|S(t)| + |S(t)||\phi(t)| = (|\phi(t)| - \bar{\sigma})|S(t)| \quad (58)$$

الگوریتم تطبیقی به کار رفته تضمین می‌کند که مشتق تابع لیاپانوف منفی نیمه معین گردد. بنابراین $S(t)$ و $\tilde{\sigma}(t)$ کران دار می‌باشند. حال پایداری مجانبی سیستم را با استفاده از لم باریارلات^۱ بررسی می‌کنیم. برای این منظور مشتق دوم زمانی تابع لیاپانوف را محاسبه می‌کنیم.

$$\ddot{V}(S(t), \tilde{\sigma}(t)) = \frac{d}{dt}|\phi(t)||S(t)| + (\|\phi(t)\| - \bar{\sigma})\frac{d}{dt}|S(t)| \quad (59)$$

چون $S(t)$ و $\phi(t)$ توابعی پیوسته، هموار و کران دار می‌باشند $\ddot{V}(S(t), \tilde{\sigma}(t))$ کران دار خواهد بود بنابراین با استفاده از لم باریارلات وقتی $t \rightarrow \infty$ داریم $S(t) \rightarrow 0$ و قضیه اثبات می‌گردد.

۶- نتایج بدست آمده

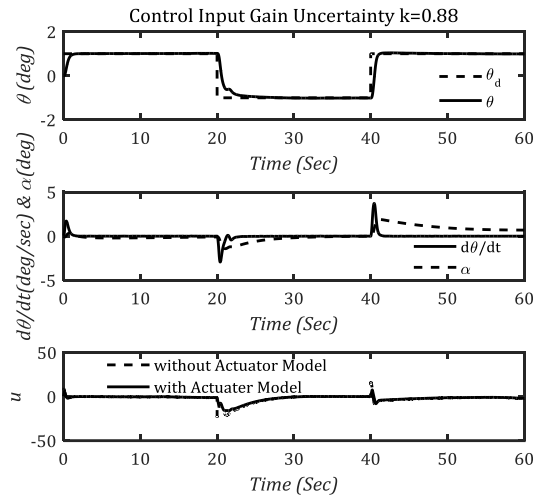
در ادامه نتایج به دست آمده ارائه شده است. نتایج برای دو حالت اعمال مدل عملگر روی سیستم و بدون اعمال مدل عملگر استخراج گردیده است. دیاگرام بلوکی سیستم حلقه بسته در شکل ۴ نمایش داده شده است. مقادیر پارامترهای استفاده شده در طراحی کنترل کننده و شبیه‌سازی سیستم در جدول ۱ ارائه شده است.

جدول ۱- پارامترهای کنترلی

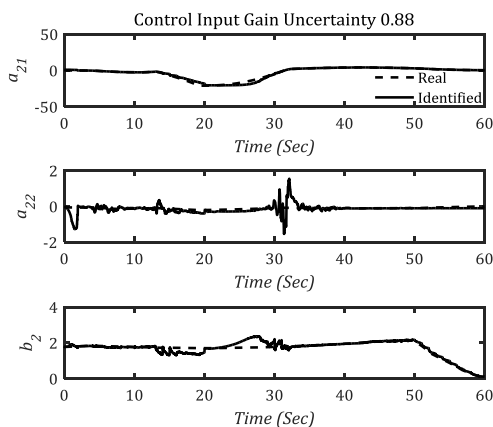
پارامتر	توصیف	مقدار
T_s	زمان نمونه‌برداری	۰/۰۱
λ	پارامتر کنترلی معادله سطح لغزش	۴
η	پارامتر کنترلی مود لغزشی	۰/۰۱
ϕ	ضخامت لایه‌ی مرزی	۱
d	تأخری عملگر	۰/۰۱
K	بهره مدل عملگر	۱۵
a	پارامتر حد اشباع عملگر	۱۸
b	پارامتر حد اشباع عملگر	۳
k_p	ضریب تناسی	۱۰
k_d	ضریب مشتق‌گیر	۵
k_i	ضریب انگرال‌گیر	۴

که T_s معرف زمان نمونه‌برداری، λ و η پارامترهای استفاده شده در طراحی قانون کنترل مود لغزشی، d تأخیری عملگر، K

^۱ Barbalat's Lemma



شکل ۷- زاویه پیچ/یاو، مشتق زاویه پیچ/یاو، زاویه حمله و سیگنال کنترلی با عدم قطعیت در بھرہ کنترلی سیستم (۰/۸۸) نشان داده شده‌اند. در شکل ۸ شناسایی پارامترهای سیستم در شرایط متناظر، به صورت به هنگام با اعمال کنترل مقاوم تطبیقی ارائه شده است. در شکل ۹، زاویه پیچ/یاو، مشتق زاویه پیچ/یاو، زاویه حمله و سیگنال کنترلی در حضور اغتشاش خارجی نوسانی $D(t) = 2 \sin t U(t - 10)$ نشان داده شده‌اند، که در آن $U(t)$ معرف تابع پله واحد است. در شکل ۱۰ نیز شناسایی پارامترهای سیستم در شرایط متناظر به صورت به هنگام با اعمال کنترل مقاوم تطبیقی نمایش داده شده است.

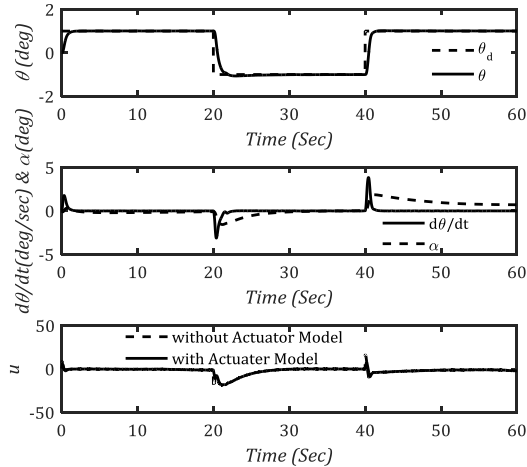


شکل ۸- شناسایی به هنگام پارامترهای سیستم با عدم قطعیت در بھرہ کنترلی سیستم (۰/۸۸) با اعمال کنترل مقاوم تطبیقی

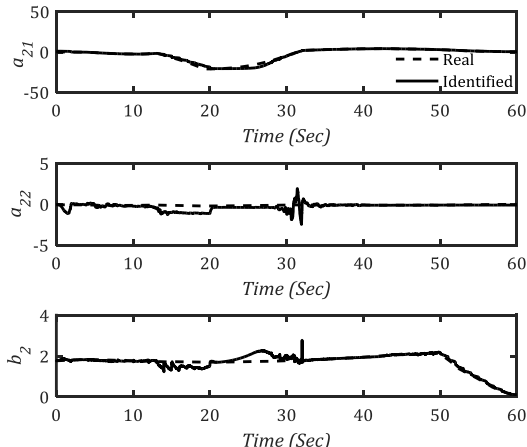
۷- مقایسه نتایج با کنترل تناوبی- انتگرال گیر- مشتق گیر

به منظور بررسی کارایی قانون کنترلی طراحی شده در مراحل قبل، در این قسمت کنترل کننده‌ی تناوبی- انتگرال گیر- مشتق گیر برای سیستم طراحی می‌گردد. دیاگرام بلوکی سیستم حلقه بسته در شکل ۱۱ نمایش داده شده است.

شکل ۷، زاویه پیچ/یاو، مشتق زاویه پیچ/یاو، زاویه حمله و سیگنال کنترلی با عدم قطعیت در بھرہ کنترلی سیستم (۰/۸۸) نشان داده شده‌اند. در شکل ۸ شناسایی پارامترهای سیستم در شرایط متناظر، به صورت به هنگام با اعمال کنترل مقاوم تطبیقی ارائه شده است. در شکل ۹، زاویه پیچ/یاو، زاویه حمله و سیگنال کنترلی در حضور اغتشاش خارجی نوسانی $D(t) = 2 \sin t U(t - 10)$ نشان داده شده‌اند، که در آن $U(t)$ معرف تابع پله واحد است. در شکل ۱۰ نیز شناسایی پارامترهای سیستم در شرایط متناظر به صورت به هنگام با اعمال کنترل مقاوم تطبیقی نمایش داده شده است.



شکل ۵- زاویه پیچ/یاو، مشتق زاویه پیچ/یاو، زاویه حمله و سیگنال کنترلی با اعمال کنترل مقاوم تطبیقی



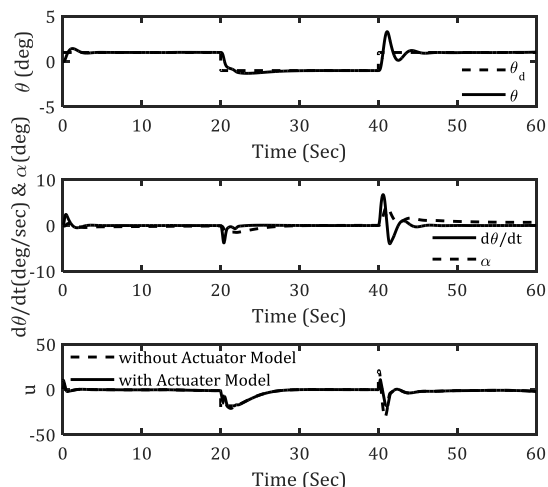
شکل ۶- شناسایی پارامترهای سیستم با اعمال کنترل مقاوم تطبیقی

ورودی کنترلی در هر زمان نمونه‌برداری به صورت زیر تولید می‌گردد:

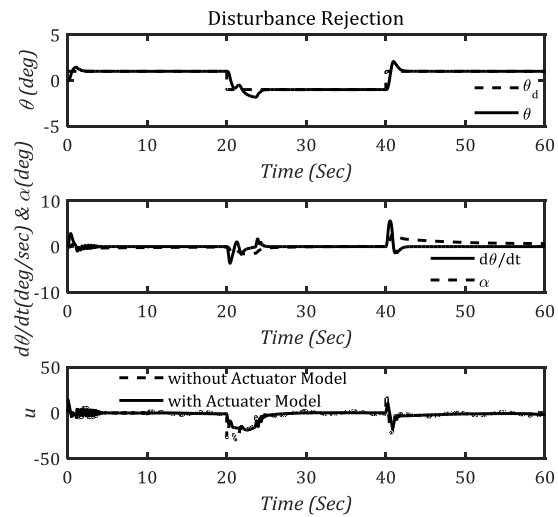
$$u(t) = k_p e(t) + k_d \dot{e}(t) + k_i \int e(t) dt \quad (۴۰)$$

ضرایب کنترلی به منظور برآورده نمودن پایداری سیستم حلقه بسته مقادیری مثبتی فرض شده‌اند. این بهره‌های کنترلی به صورت دستی تنظیم گردیده‌اند، به این صورت که ابتدا بهره تناسبی تنظیم شده است تا به پاسخی پایدار و نوسانی برسیم سپس بهره انتگرال گیر تنظیم گردیده است تا خطای ماندگار سیستم حذف گردد و در نهایت بهره مشتق گیر تنظیم شده است تا نوسانات سیستم حتی الامکان کمتر شود. بنابراین بهره‌های کنترلی با استفاده از روش تنظیم دستی و بررسی همزمان عملکرد سیستم حلقه بسته و مقدار ورودی‌های کنترلی انتخاب گردیده‌اند. بهره‌های کنترلی رابطه فوق در جدول ۱ آمده‌اند.

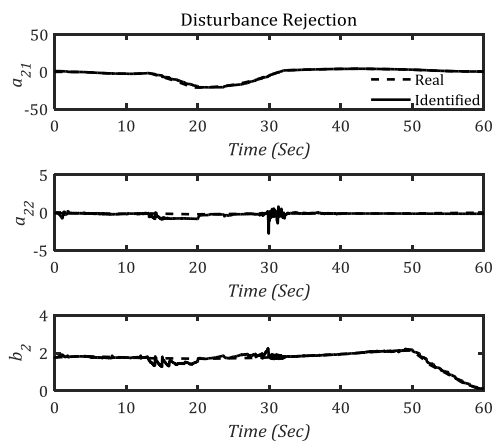
در ادامه نتایج بدست آمده را می‌گردد. در شکل ۱۲ زاویه پیچ/یاو، مشتق زاویه پیچ/یاو، زاویه حمله و سیگنال کنترلی با اعمال کنترل تناسبی-انتگرال گیر- مشتق گیر نشان داده شده است. در شکل‌های ۱۳ و ۱۴ نیز همین سیگنال‌ها به ترتیب با عدم قطعیت در بهره کنترلی سیستم (۸۸/۰) و در حضور اغتشاش خارجی نوسانی $D(t) = 2 \sin t U(t - 10)$ نمایش داده شده‌اند.



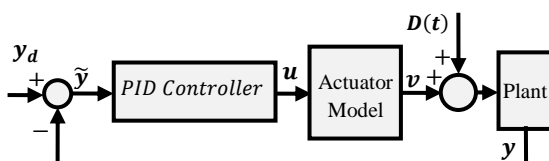
شکل ۱۲- زاویه پیچ/یاو، مشتق زاویه پیچ/یاو، زاویه حمله و سیگنال کنترلی با اعمال کنترل تناسبی-انتگرال گیر- مشتق گیر



شکل ۹- زاویه پیچ/یاو، مشتق زاویه پیچ/یاو، زاویه حمله و سیگنال کنترلی در حضور اغتشاش خارجی نوسانی با اعمال کنترل مقاوم تطبیقی



شکل ۱۰- شناسایی پارامترهای سیستم در حضور اغتشاش خارجی نوسانی با اعمال کنترل مقاوم تطبیقی

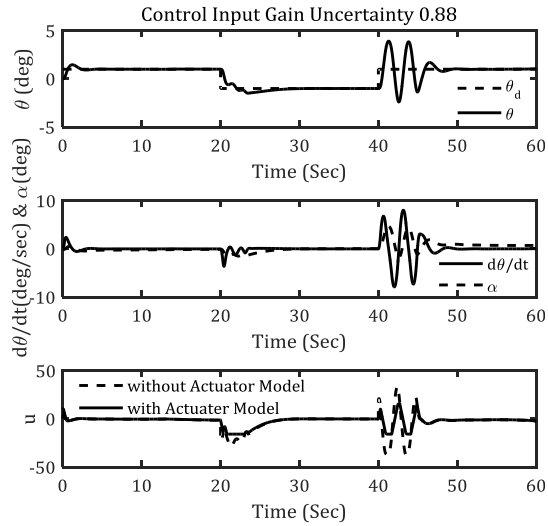


شکل ۱۱- دیاگرام بلوکی سیستم حلقه بسته با اعمال کنترل کننده‌ی تناسبی-انتگرال گیر- مشتق گیر

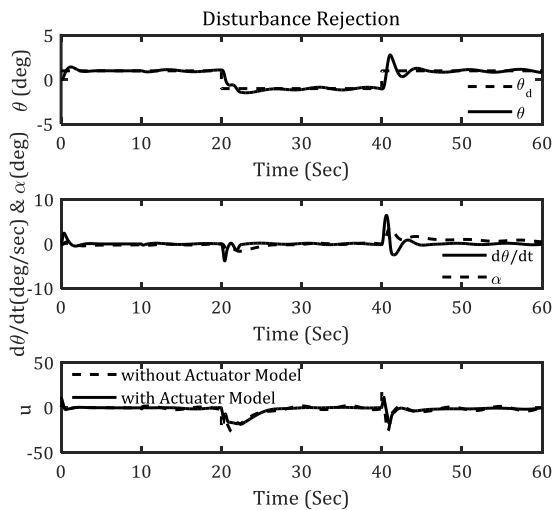
- مقاومت کنترل مود لغزشی به همراه تطبیق پارامترها در حضور نویز روی مشتق زاویه پیج (یاو) بسیار بالاتر از کنترل تناسبی-انتگرال گیر-مشتق گیر است.
 - مقاومت کنترل مود لغزشی به همراه تطبیق پارامترها در عدم قطعیت بهره کنترلی سیستم، مخصوصاً بهره‌های کنترلی پایین‌تر از واحد، نسبت به کنترل تناسبی-انتگرال گیر-مشتق گیر کاملاً مشهود است.
 - مقاومت کنترل مود لغزشی به همراه تطبیق پارامترها در برابر افزایش دامنه ورودی مرجع سیستم نسبت به کنترل تناسبی-انتگرال گیر-مشتق گیر مشخص است.
 - همانگونه که مشاهده می‌شود با شروع از شرایط اولیه پس از تقریباً سه ثانیه سیستم خود را به مسیر مرجع رسانده و در یک حاشیه مناسبی از آن قرار گرفته است. ورودی‌های کنترلی تولید شده نیز دارای مقادیر مناسبی می‌باشند.
- با توجه به شرایط فوق، کنترل مود لغزشی به همراه تطبیق پارامترها نتایج مطلوبی نسبت به کنترل تناسبی-انتگرال گیر-مشتق گیر نشان می‌دهد.

۸- نتیجه‌گیری

در این مقاله یک روش جدید برای کنترل حرکت یک ربات خودکار پرنده به عنوان یک سیستم با پارامترهای متغیر با زمان، ارائه شده است. ابتدا معادلات دینامیکی سیستم ارائه گردید. سپس یک قانون کنترل دینامیکی مود لغزشی به همراه شناسایی پارامترها به عنوان یک الگوریتم مقاوم تطبیقی بر اساس فیدبک حالت متغیرهای سیستم طراحی گردید. به منظور بهبود عملکرد سیستم در حضور عدم قطعیت‌ها و اغتشاشات و همچنین حذف نوسانات فرکانس بالای سیستم حول سطح لغزش از الگوریتم تطبیقی برای ارتقاء الگوریتم کنترل مود لغزشی استفاده شد. همچنین پایداری قانون کنترلی از طریق روش لیپاپونوف مورد بررسی قرار گرفت. در ادامه عملکرد سیستم در حضور اغتشاشات خارجی و عدم قطعیت بهره کنترلی بررسی شد. نتایج الگوریتم کنترلی طراحی شده با کنترل تناسبی-انتگرال گیر-مشتق گیر نیز که در گذشته به طور متدائل مورد استفاده قرار می‌گرفت مقایسه گردید که نتایج بدست آمده کارایی روش ارائه شده را تایید می‌نمایند.



شکل ۱۳- زاویه پیج/یاو، مشتق زاویه پیج/یاو، زاویه حمله و سیگнал کنترلی با عدم قطعیت در بهره کنترلی سیستم (۰/۸۸) و اعمال کنترل تناسبی-انتگرال گیر-مشتق گیر



شکل ۱۴- زاویه پیج/یاو، مشتق زاویه پیج/یاو، زاویه حمله و سیگнал کنترلی در حضور اغتشاش خارجی نوسانی با اعمال کنترل تناسبی-انتگرال گیر-مشتق گیر

همانگونه که مشاهده می‌شود پاسخ سیستم دارای فراجهش و فرو جهش‌های بیشتری نسبت به پاسخ کنترل مود لغزشی می‌باشد. همچنین زمان نشست پاسخ مقدار بیشتری دارد که نشان دهنده مناسب بودن قانون کنترل مود لغزشی می‌باشد. با شبیه‌سازی نتایج برای بررسی مقاومت قوانین کنترلی طراحی شده نتایج زیر استخراج گردید:

- [12] Zhihong M, Yu X (1997) Adaptive terminal sliding mode tracking control for rigid robotic manipulators with uncertain dynamics. *JSME Int J* 40(3):493-502.
- [13] Oosterom M, Babuska R (2001) Fuzzy gain scheduling for flight control laws. 10th IEEE Int Conf Fuzzy Syst 716-719.
- [14] Gonsalves PG, Zacharias GL (1994) Fuzzy logic gain scheduling for flight control. Proc Third IEEE Conf Fuzzy Syst 952-957.
- [15] Pan Y, Wei W, Furuta K (2008) Hybrid sliding sector control for a wheeled mobile robot. Proceedings of the Institution of Mechanical Engineers, Part I: *J Syst Cont Eng* 222(8):829-837.
- [16] Engeberg ED, Meek SG (2013) Adaptive sliding mode control for prosthetic hands to simultaneously prevent slip and minimize deformation of grasped objects. *IEEE/ASME Trans Mechatronics* 18(1): 376-385.
- [17] Chuxiong H, Bin Y, Qingfeng W (2013) Performance-oriented adaptive robust control of a class of nonlinear systems preceded by unknown dead zone with comparative experimental results. *IEEE/ASME Trans Mechatronics* 18(1): 178-189.
- [18] Astrom KJ, Wittenmark B (1994) Adaptive control. Addison-Wesley Longman Publishing Co.
- [19] Keymasi Khalaji A, Moosavian SAA Switching control of a tractor-trailer wheeled robot. *Int J Robotics Autom* 30(2).
- [20] Keymasi Khalaji A, Moosavian SAA (2014) Adaptive sliding mode control of a wheeled mobile robot towing a trailer. Proc the Inst Mech Eng Part I: *J Syst Cont Eng* 229(2): 169-183.
- [21] Chen CY, Li THS, Yeh YC, Chang CC (2009) Design and implementation of an adaptive sliding-mode dynamic controller for wheeled mobile robots. *Mechatronics* 19(2): 156-166.
- [22] Sarhadi P., Ghahramani NO, Miryousefi Aval R (2011) Nonlinear modeling of a hydraulic actuator considering saturations in amplitude and rate commands. *J Cont* 4(2): 36-43. (in Persian)

۶- مراجع

- [1] Khanpoor A, Keymasi Khalaji A, Moosavian SAA (2015) Dynamics and control of a wheeled mobile robot attached by a trailer with passive spherical wheels. *Modares Mech Eng* 15(8): 216-224. (in Persian)
- [2] Khanpoor A, Keymasi Khalaji A, Moosavian SAA (2017) Modeling and control of an underactuated tractor-trailer wheeled mobile robot. *Robotica* 35(12): 2297-2318.
- [3] Keymasi Khalaji A, Moosavian SAA (2014) Fuzzy sliding mode control law for a wheeled mobile robot towing a trailer. *Modares Mech Eng* 14(4): 91-98. (in Persian)
- [4] Jimenez-Cano AE, Martin J, Heredia G, Ollero A, Cano R (2013) Control of an aerial robot with multi-link arm for assembly tasks. *Proc Rob Autom (ICRA)* 4916-4921.
- [5] Zarafshan P, Moosavian SAA, Bahrami M (2010) Comparative controller design of an aerial robot. *Aerosp Sci Tech* 14(4): 276-282.
- [6] Lai G, Liu Z, Zhang Y, Chen CLP (2016) Adaptive position/attitude tracking control of aerial robot with unknown inertial matrix based on a new robust neural identifier. *IEEE Trans Neural Netw Learn Syst* 27(1): 18-31.
- [7] Siciliano B, Khatib O (2007) Springer handbook of robotics. Springer-Verlag, New York.
- [8] Talebian SJ, Heirani Nobari J (2014) Design of a horizontal guidance algorithm for optimal crossing of trajectory legs. *J Cont* 8(2): 47-57.
- [9] Ghaffari A, Roshanian J, Tayefi M (2007) Time-varying transfer function extraction of an unstable launch vehicle via closed-loop identification. *Aerosp Sci Tech* 11(2): 238-244.
- [10] Keymasi Khalaji A, Moosavian SAA (2014) Robust adaptive controller for a tractor-trailer mobile robot. *IEEE/ASME Trans Mechatronics* 19(3): 943 - 953.
- [11] Slotine JJ, Li W (1991) Applied nonlinear control. Prentice-Hall International.